414 高張力鋼板テーラードブランクへの各種溶接法の適用

住友金属工業株式会社 〇内原正人 福井清之

Tailored Blanks of High Strength Steels · Comparison of Welding Method-

by UCHIHARA Masato and FUKUI Kiyoyuki キーワード: 高張力鋼板. テーラードブランク

Keywords: high strength steel, tailored blanks

1. 緒言

自動車車体軽量化を目的に、多くの高張力鋼板およびテーラードブランクが使用されている。現在、国内では引張り強度 590MPa 級の高張力鋼板までがテーラードブランクに適用されており、レーザ溶接、マッシュシーム溶接およびプラズマ溶接が用いられている。今後、さらに高強度の鋼板の適用も予想されている。本報は、高張力鋼板をテーラードブランクへ適用するために、溶接方法および溶接条件選定の指針を得ることを目的とした。

2. 試験方法

Table 1 に示す、引張り強さが 270MPa から 780MPa クラスの鋼板を用いた。板厚 1mm の材料にて材料強度と溶接方法の影響を調べた。溶接条件を Table 2 に示す。また、板厚 1.4mm の 2 種類の 590MPa 鋼を用い、溶接条件および鋼種の影響を調べた。溶接部材の評価として、Fig.1 に示す JIS 5 号引張り試験片にて、溶接材の延びを調査した。

Table 2 Welding parameters

	(a) Laser welding					
1	Laser	YAG laser				
	Power	3kW				
	Speed	6.5m/min				
	Focus	Surface				
	Shelding	Ar (20L/min)				
	gas					

3. 試験結果

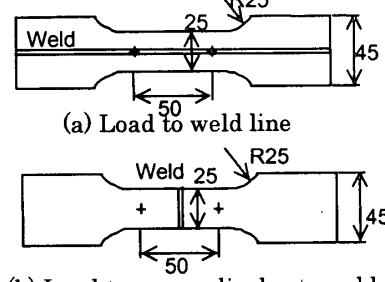
(b) Mash seam weldin						
Current						
Force	10kN/270steel					
	12kN/440steel					
	12kN/590steel					
	14kN/780steel					
Lap	2.5mm					

Speed

welding (c) Plasma arc welding								
¢Α		Curent	80A					
70steel		Speed	1m/min					
10steel		Chip hole dia.	2.8mm					
90steel		Plasma gas	Ar+10%H2					
30steel			(0.5L/min)					
nm		Shielding gas	Ar+10%H2					
min			(10L/min)					

Table 1 Material

Mark	Thick-	Yield	Tensile	EI
	ness	strength	strength	l
	(mm)	(MPa)	(MPa)	(%)
270	1.0	215	339	42.6
440	1.0	308	447	34.8
590	1.0	415	630	27.2
590(1)	1.4	408	636	27.2
590(2)	1.4	463	605	25.1
780	1.0	432	826	21.0



(b) Load to perpendicular to weld Fig.1 Tensile test specimens

3. 1 材料強度および溶接方法の影響

Fig.2 に溶接部断面を、Fig.3 に硬度分布の例を示す。いずれの鋼種もレーザ溶接部の硬化幅が最も狭い。最高硬さは440MPa 鋼ではレーザ溶接部が最も高いが、780MPa 鋼では

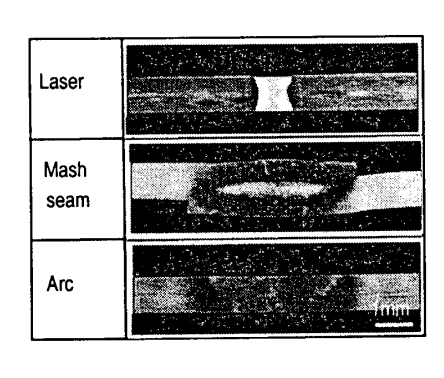


Fig.2 Cross section of weld (780MPa steel)

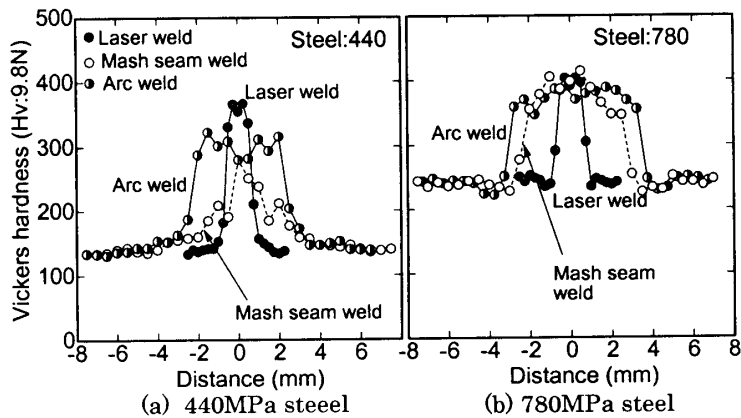
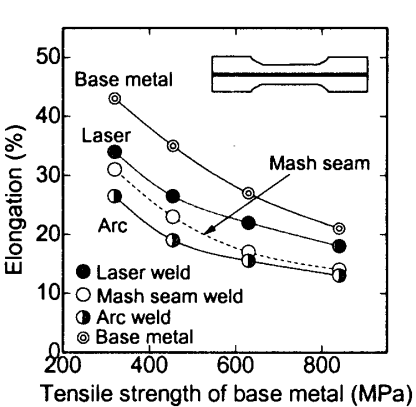
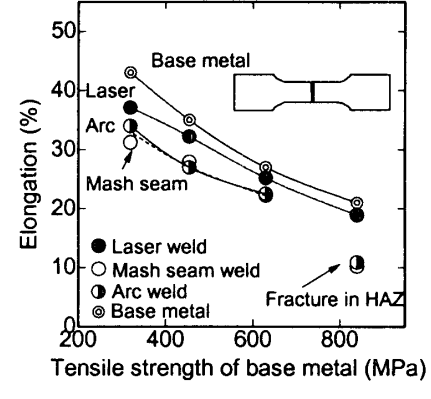


Fig.3 Hardness of weld

溶接学会全国大会講演概要 第71集(2002-10)

溶接法によらずほぼ同等である。この理由は 780MPa 鋼ではいずれの溶接法でも溶接金属がマルテンサイト組織であるためと考えられる。また、780MPa 鋼ではマッシュシームとプラズマ溶接部に明瞭な HAZ 軟化が認められる。Fig.4 に引張り試験結果を示す。溶接線





(a) Direction: weld line

(b) Direction: perpendicular to weld

Fig.4 Elongation of steel sheet with weld

ため HAZ で破断し、延びは著しく低くなる。

3. 2 溶接条件および母材鋼種の影響

ここでは溶接条件の影響が大きいプラズマ溶接の結果を述べる。Fig.5 に溶接電流と溶接材の延びの関係を、Fig.6 に溶接材の硬度分布を示す。 2 種類の 590MPa 鋼を評価しており、TYPE 1 はフェライト+マルテンサイト組織の DP 鋼、TYPE 2 は析出強化鋼である。TYPE 1 は高電流条件でHAZ軟化が大きくなるためHAZで破断し、延びが低下する。一方、TYPE2 は高電流でもHAZ軟化せず、母材破断するので、延びは電流によらず一定である。このように、入熱の大きいプラズマ溶接では適正な溶接条件の選択とともに、鋼種の選択も重要であることがわかる。なお、他の溶接法については、レーザ溶接は、今回の試験では成形性におよぼす溶接条件の影響は認められなかった。また、マッシュシーム溶接は、既報 1)で示したように高張力鋼板では適正条件範囲が狭くなり、条件選定の裕度が小さくなる点が特徴である。

4. 結言

590MPa を超える高張力鋼板のテーラードブランクに おいて、厳しい成形性が要求される場合はレーザ溶接が 適する。また、入熱の大きいプラズマ溶接では溶接条件 や鋼種の選択を考慮する必要がある。

参考文献

1) 内原他, 溶接学会講演概要集第 70 集, (2002), p274

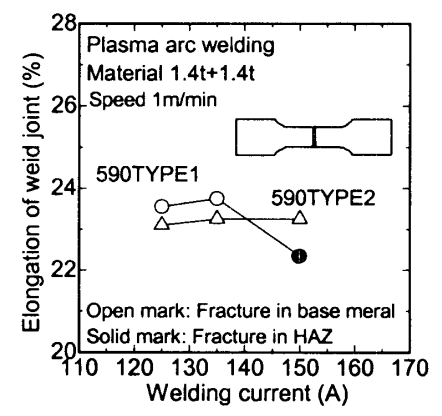


Fig.5 Effect of welding current on the elongation of welded joints

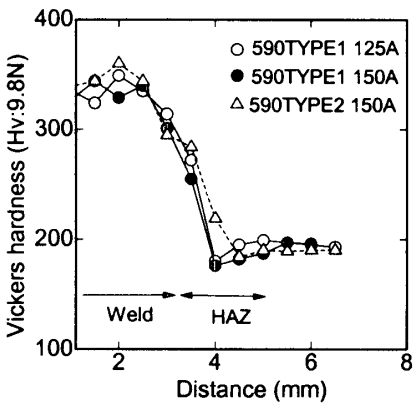


Fig.6 Hardness of plasma arc weld